

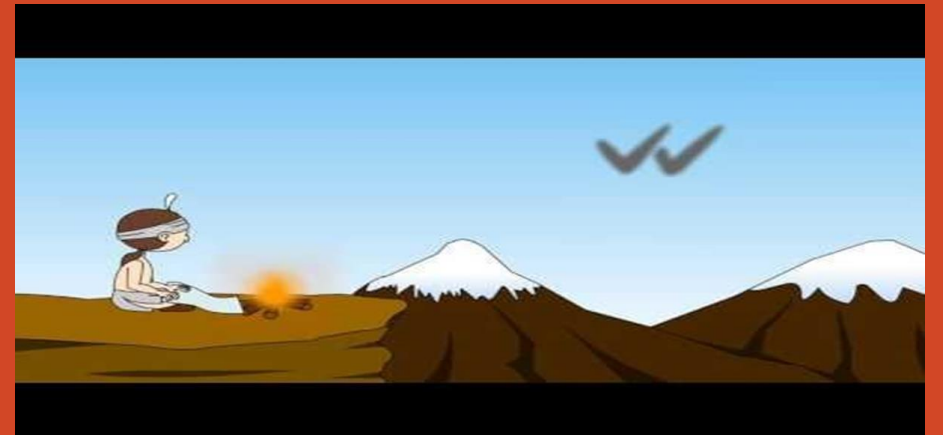
E1214 Fundamentos de las Comunicaciones

E0311 Comunicaciones

E0214 Comunicaciones

Curso 2023

Adrián Carlotto



comunica@ing.unlp.edu.ar

Coordinación y Regulación

UIT (ITU) Unión Internacional de las Telecomunicaciones



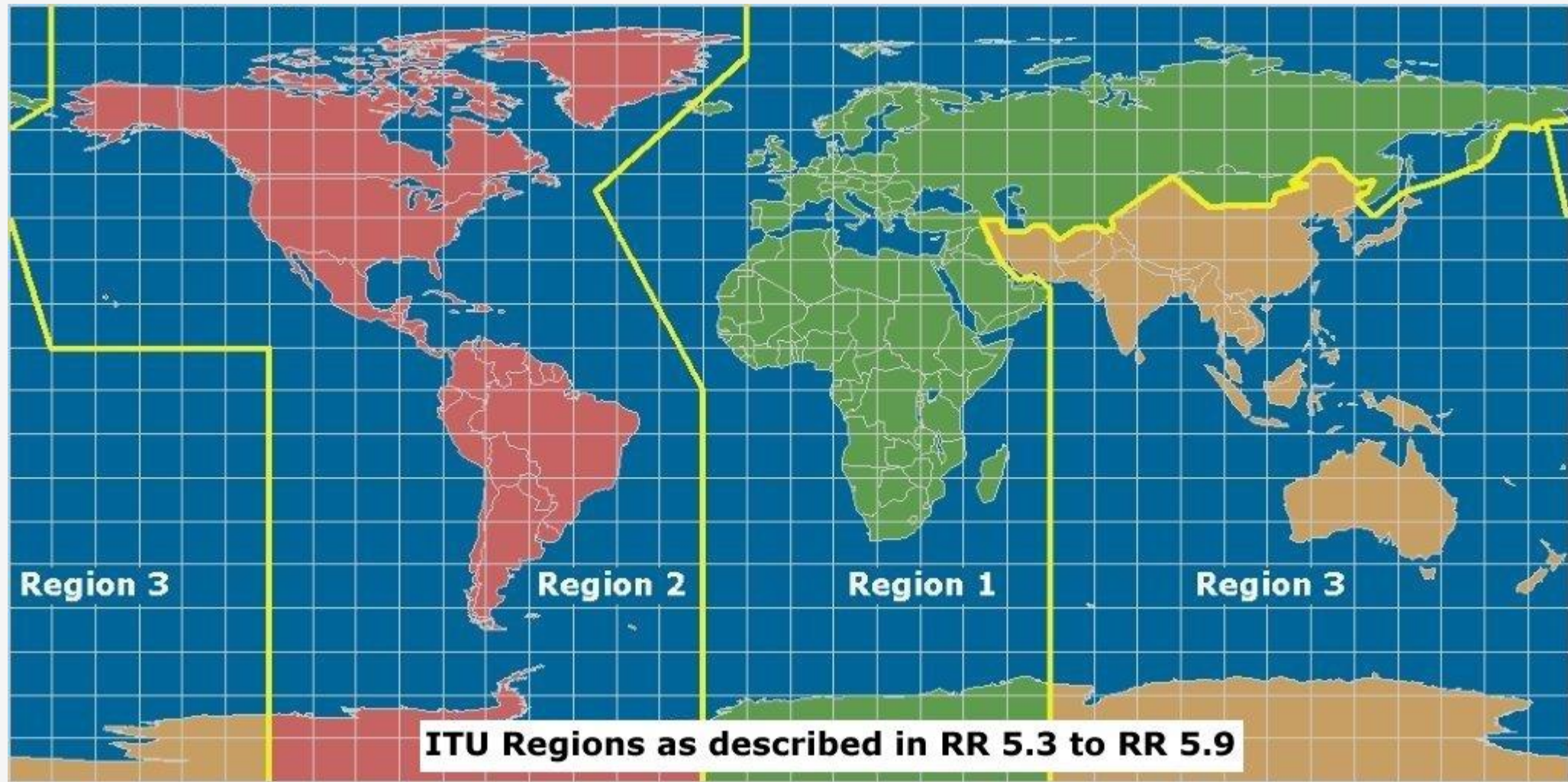
www.itu.int

Radiocomunicaciones

Normalización

Desarrollo

ITU - Regiones

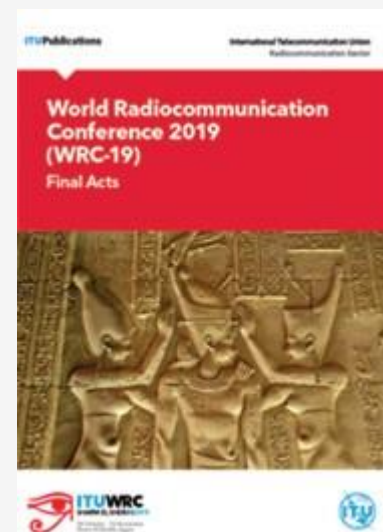


El Sector de Radiocomunicaciones UIT-R



Gestión global del espectro de radio-frecuencias y la órbita de satélites

- Estableciendo:
 - Reglamentación Internacional
 - Normas, Recomendaciones, Informes, Manuales...
 - Asistencia a los miembros



Grupos de Estudio (UIT-R)

Comisiones de Estudio

- Comisión de Estudio 1 (CE 1)
Gestión del espectro
- Comisión de Estudio 3 (CE 3)
Propagación de las ondas radioeléctricas
- Comisión de Estudio 4 (CE 4)
Servicios por satélite
- Comisión de Estudio 5 (CE 5)
Servicios terrenales
- Comisión de Estudio 6 (CE 6)
Servicio de radiodifusión
- Comisión de Estudio 7 (CE 7)
Servicios científicos

Grupos Conexos

- Comité de Coordinación del Vocabulario (CCV)
- Reunión Preparatoria de Conferencias (RPC)
- Chairmen and Vice-Chairmen Meeting (CVC)

En Argentina – ENACOM (Ente Nacional de Comunicaciones)



www.enacom.gob.ar

Cuadro de Atribución de Bandas de Frecuencias de la República Argentina (CABFRA)

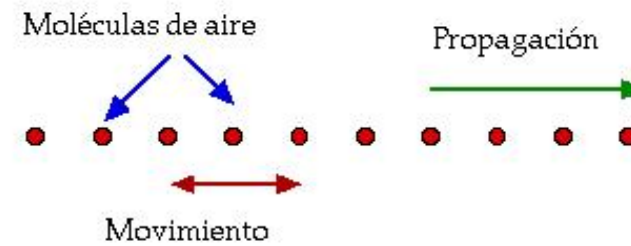
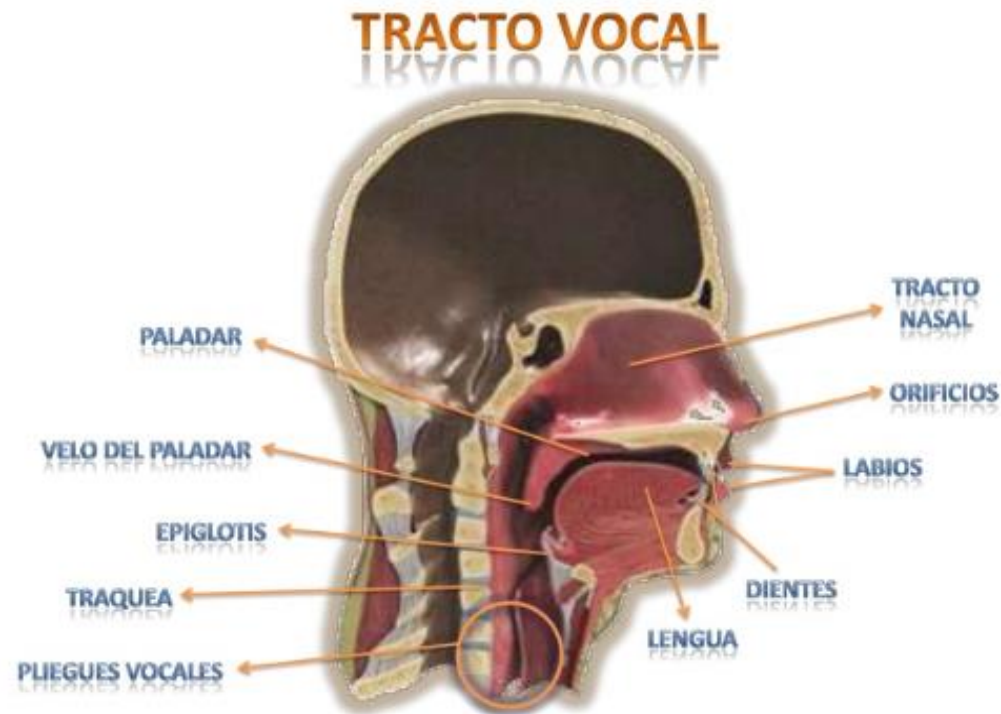
RANGO DE FRECUENCIA **401 - 401,75** **OBSERVACIONES GENERALES**

SERVICIO (T10)	TIPO DE SERVICIO	CARACTERÍSTICAS	NORMATIVA
Servicio de Ayudas a la Meteorología - SAM	FIJO/MOVIL		RR UIT/R2 – Art. 5
Servicio de Operaciones Espaciales - SOS	FIJO/MOVIL		RR UIT/R2 – Art. 5
Serv. de Exploración de la Tierra por Sat. - SETS	FIJO/MOVIL		RR UIT/R2 – Art. 5
Servicio de Meteorología por Satélite - SMES	FIJO/MOVIL		RR UIT/R2 – Art. 5
Sistema de Radiocom. para uso Médico - SRMED	FIJO/MOVIL	Categoría Secundaria (401 – 406 MHz)	4479ENACOM17 4665ENACOM17

RR UIT/R2 Reglamento de Radiocomunicaciones de la Unión Internacional de Telecomunicaciones, Región 2

CABFRA - WU – 29 Octubre 2019

Comunicaciones Humanas



Nuestro receptor

E

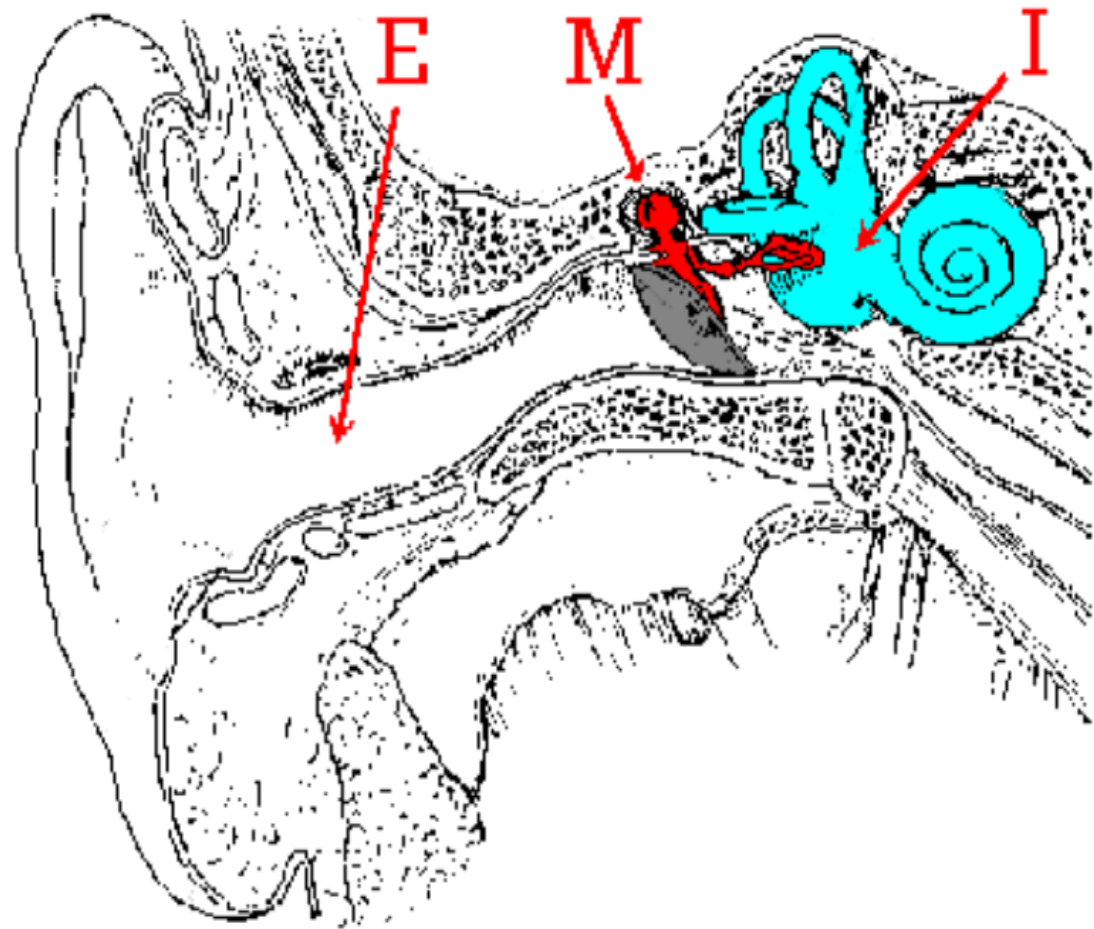
Oído Externo.

M

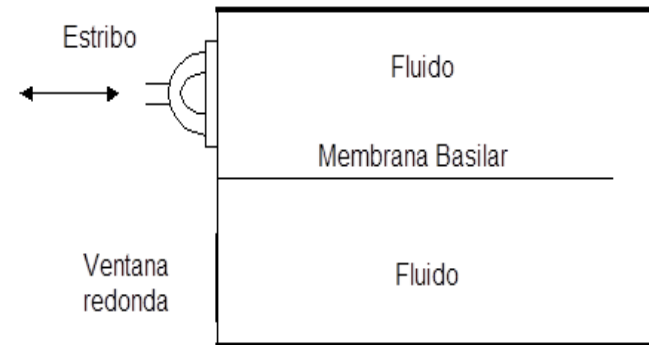
Oído Medio

I

Oído Interno



Modelo Lineal



Modelo Lineal

A diagram of a rectangular domain in the x - y plane. The vertical axis is labeled y and the horizontal axis is labeled x . The domain is a rectangle with height h and width L . The boundary conditions are:

- Left boundary ($x=0$): $\frac{\partial \phi}{\partial x} = f(t)$
- Right boundary ($x=L$): $\frac{\partial \phi}{\partial x} = 0$
- Bottom boundary ($y=0$): $\frac{\partial \phi}{\partial y} = 0$

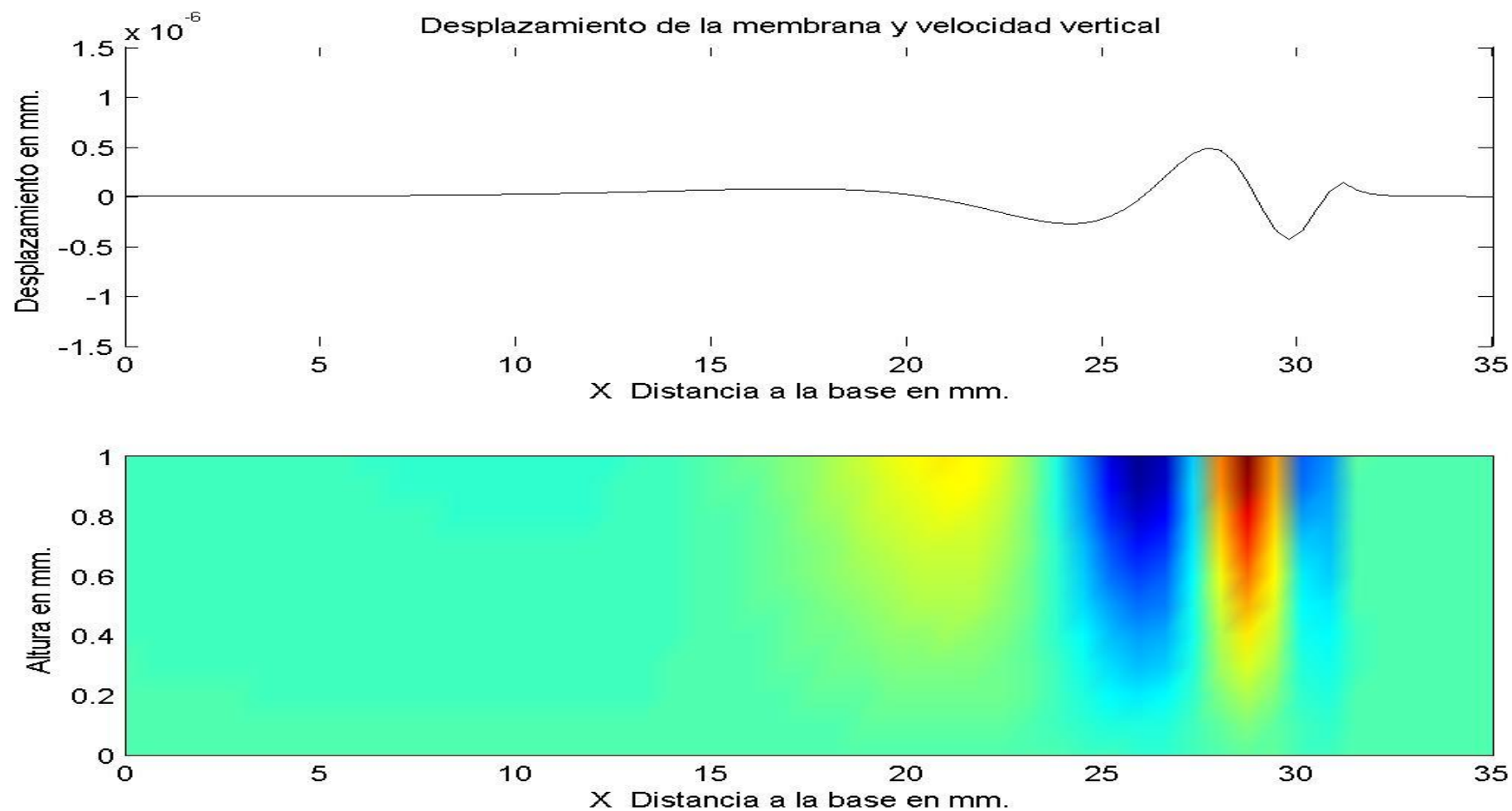
The governing equation inside the domain is:

$$2\rho \frac{\partial \phi}{\partial t} = S(x)\delta + \beta(x) \frac{\partial \delta}{\partial t} + M(x) \frac{\partial^2 \delta}{\partial t^2}$$

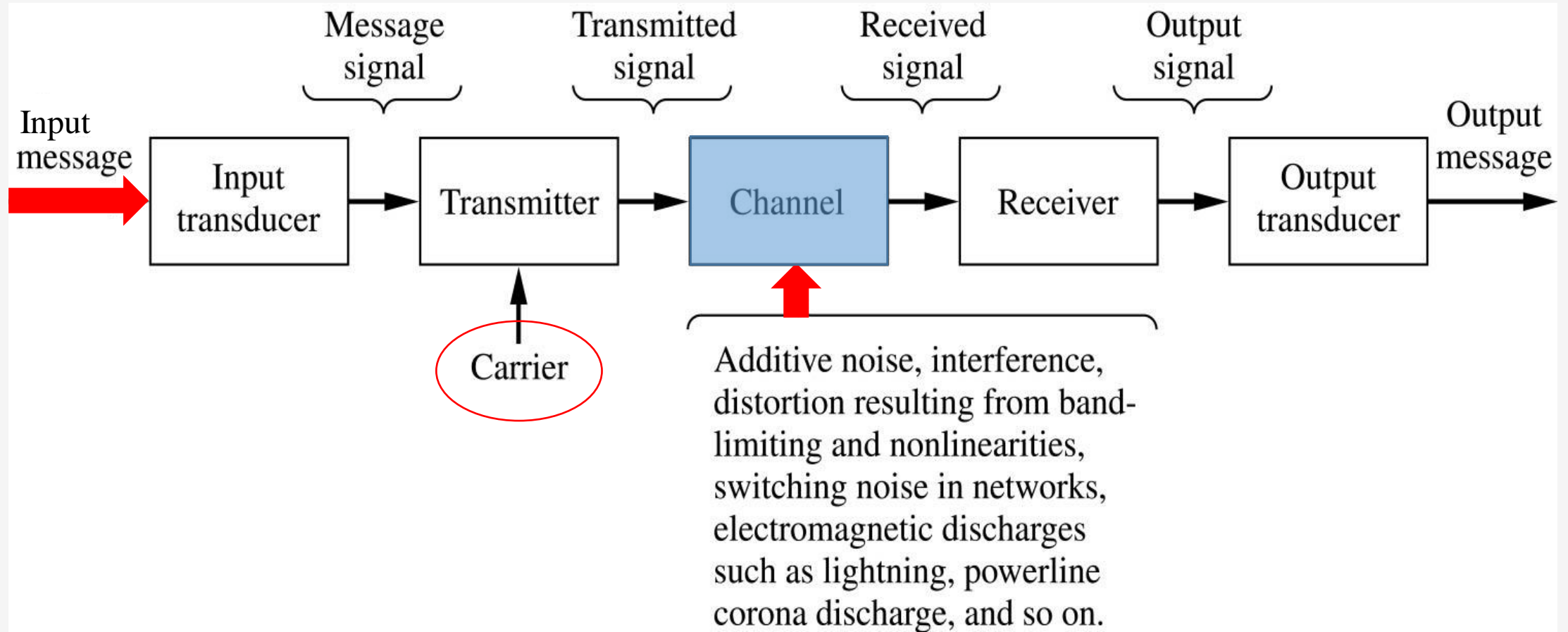
The Laplace equation is also indicated inside the domain:

$$\nabla^2 \phi = 0$$

Modelo Lineal



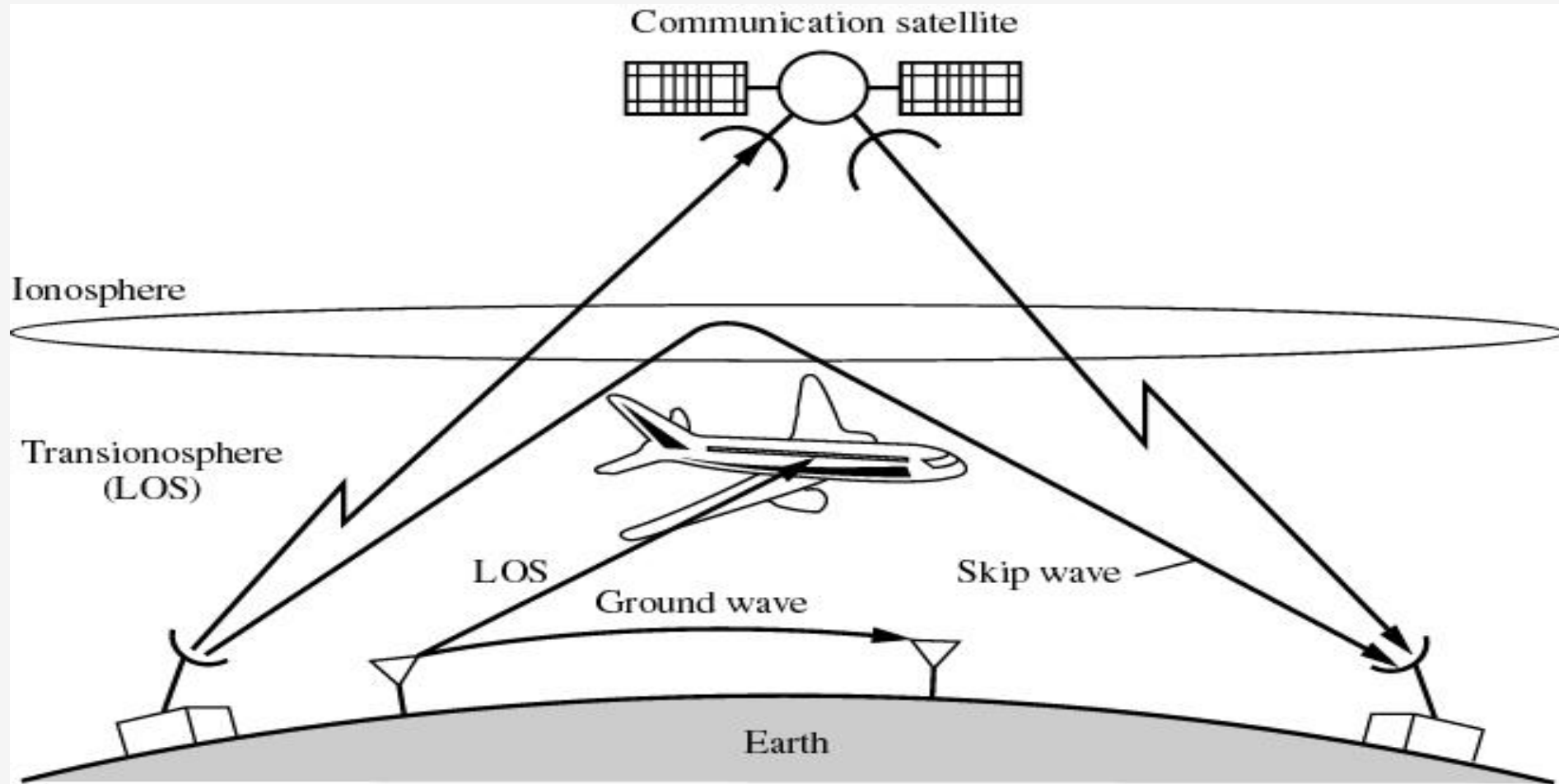
Simple Modelo de un Sistema de Comunicaciones



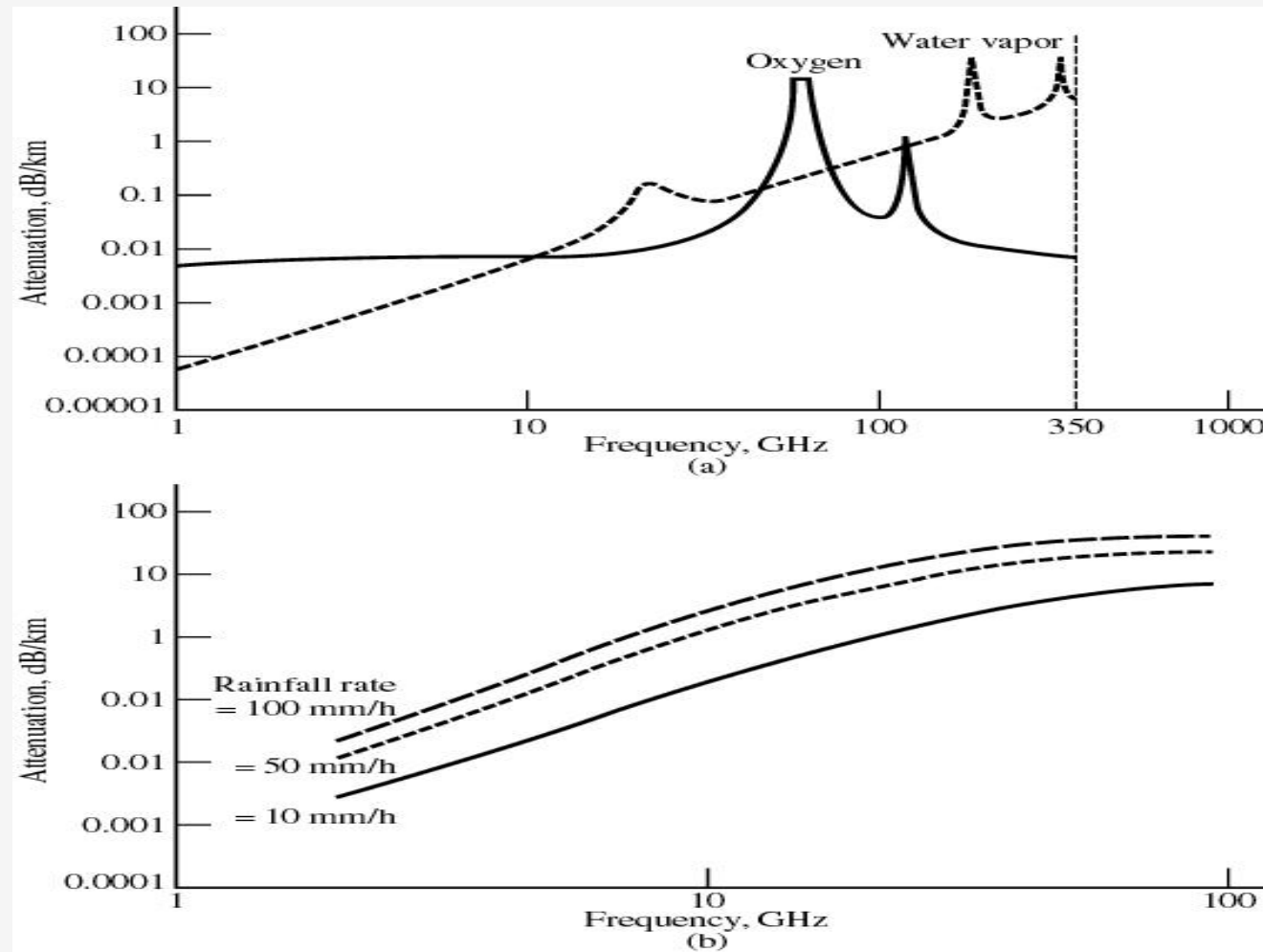
Bandas de Frecuencia

Banda	Nombre	Banda (GHz)	Denominación
3--30 kHz	Very low frequency (VLF)		
30--300 kHz	Low frequency (LF)		
300--3000 kHz	Medium frequency (MF)		
3--30 MHz	High frequency (HF)		
30--300 MHz	Very high frequency (VHF)		FM comercial
0.3--3 GHz	Ultrahigh frequency (UHF)	1.0--2.0	SAOCOM, DCS, ADS-B
		2.0--3.0	
3--30 GHz	Super high frequency (SHF)	3.0--4.0	
		4.0--6.0	
		6.0--8.0	ARSAT 2
		8.0--10.0	
		10.0--12.4	
		12.4--18.0	Transponders ARSAT 1 y 2
		18.0--20.0	
		20.0--26.5	
30--300 GHz	Extremely high frequency (EHF)	26.5--40.0	
43--430 THz	Infrared (0.7--7 µm)		
430--750 THz	Visible light (0.4--0.7 µm)		
750--3000 THz	Ultraviolet (0.1--0.4 µm)		

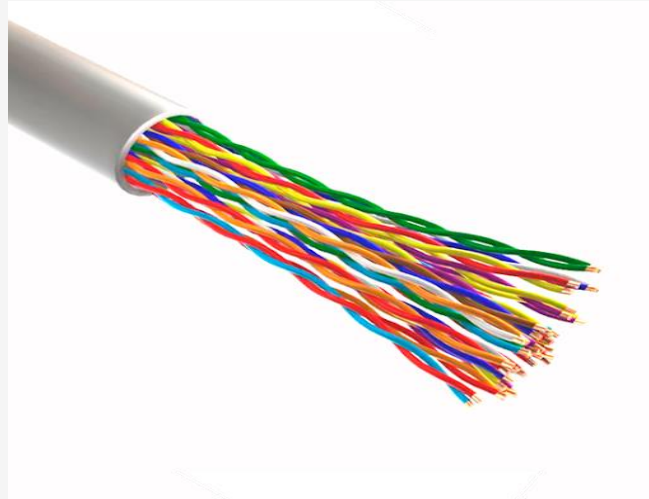
Canales



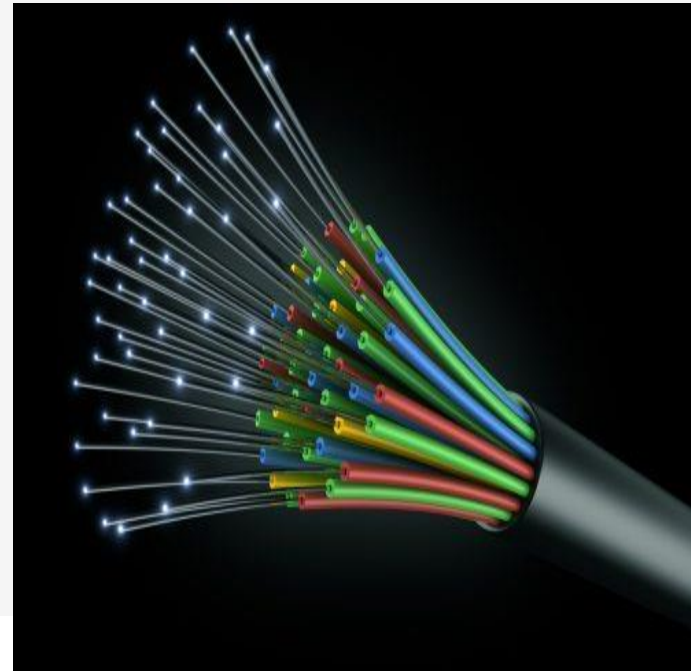
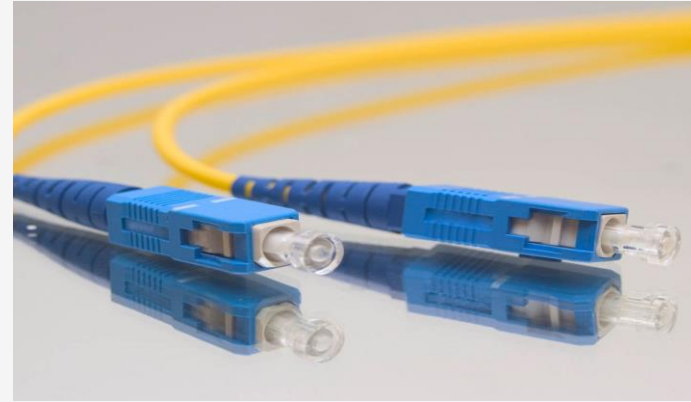
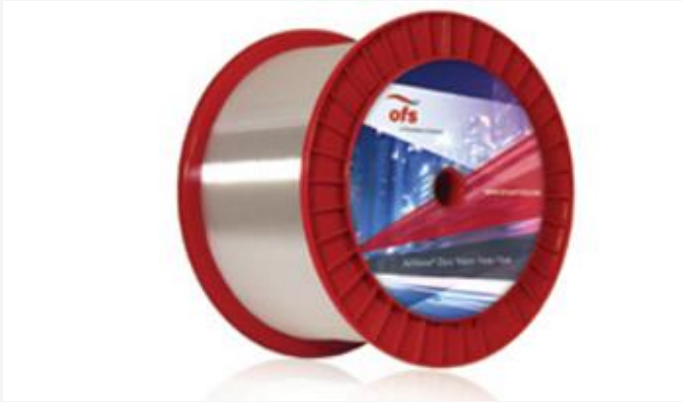
Atenuaciones

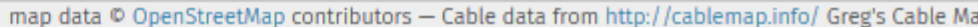


Canales



Canales





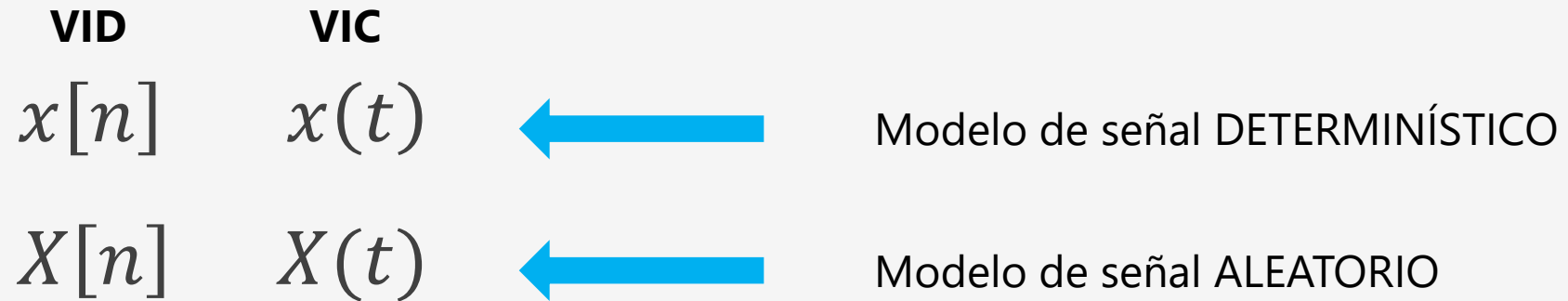
Temas a tratar

- Notación según modelo para la señal
- Energía y Potencia de una señal
- Caso: señal periódica
- Correlación
- Densidad Espectral
- Correlación y SLITs
- dB, dBm, dBW ...
- Modelos de canal

SAOCOM 1B



Modelos para la señal



Modelo DETERMINÍSTICO

- Valor medio de una señal

$$\overline{x[n]} = \langle x[n] \rangle = \lim_{N \rightarrow \infty} \frac{1}{2N+1} \sum_{n=-N}^N x[n]$$

$$\overline{x(t)} = \langle x(t) \rangle = \lim_{T \rightarrow \infty} \frac{1}{2T} \int_{-T}^T x(t) dt$$

¿Cómo se refleja en el dominio de la frecuencia el hecho que una señal tenga valor medio no nulo?

MATLAB

- `sum(x) ./ N;`
- `mean(x);`

Señales de Energía

Modelo DETERMINÍSTICO (cont.)

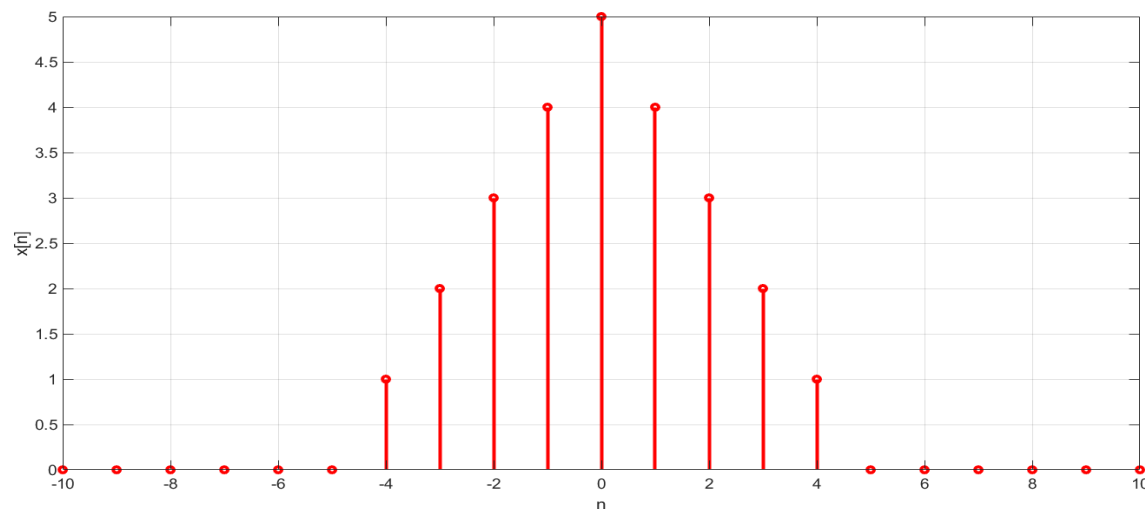
- Energía de una señal

$$\varepsilon_x = \sum_{n=-\infty}^{\infty} |x[n]|^2$$

$$\varepsilon_x = \int_{-\infty}^{\infty} |x(t)|^2 dt$$

MATLAB

- `sum(x.^2);`



Si la señal tiene valor medio no nulo ...
¿puede ser una señal de energía?

```
>> Ex=sum(x.^2);
```

```
>> Ex = 85
```

Señales de Potencia

- Potencia de una señal

¿Qué característica tiene el contenido en frecuencia de una señal de potencia?

$$P_x = \lim_{N \rightarrow \infty} \frac{1}{2N+1} \sum_{n=-N}^N |x[n]|^2 = \langle |x[n]|^2 \rangle$$

$$P_x = \lim_{N \rightarrow \infty} \frac{1}{2N+1} \sum_{n=-\infty}^{\infty} |x_N[n]|^2$$

$$P_x = \lim_{N \rightarrow \infty} \frac{\varepsilon_{x_N}}{2N+1}$$

$|x(t)|^2$  Potencia instantánea

P_x : Potencia **MEDIA NORMALIZADA**

$$P_x = \lim_{T \rightarrow \infty} \frac{1}{2T} \int_{-T}^T |x(t)|^2 dt = \langle |x(t)|^2 \rangle$$

$$P_x = \lim_{T \rightarrow \infty} \frac{1}{2T} \int_{-\infty}^{\infty} |x_T(t)|^2 dt$$

$$P_x = \lim_{T \rightarrow \infty} \frac{\varepsilon_{x_T}}{2T}$$

¿Cuál es el valor de potencia de una señal de energía?

MATLAB

- `sum(abs(x).^2)/N;`
- `mean(abs(x).^2);`

Señales de potencia (señal periódica)

- Potencia de una señal periódica $\exists T \in \mathbb{R} / y(t) = y(t + T) \quad \forall t$

$$y(t) = \sum_{k=-\infty}^{\infty} C_k e^{j 2 \pi \frac{k}{T} t}$$

$$C_k = \frac{1}{T} \mathcal{F}\{y_p(t)\} \text{ en } f = \frac{k}{T}, k \in \mathbb{Z}$$

$$C_0 = \langle y(t) \rangle$$

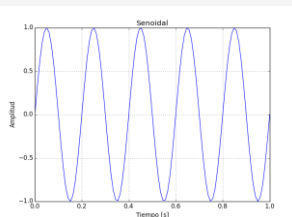
$$P_y = \langle |y(t)|^2 \rangle = \langle y(t) y^*(t) \rangle$$

$$P_y = \langle \sum_{k=-\infty}^{\infty} C_k e^{j 2 \pi \frac{k}{T} t} \sum_{l=-\infty}^{\infty} C_l^* e^{-j 2 \pi \frac{l}{T} t} \rangle$$

$$P_y = \sum_{k=-\infty}^{\infty} \sum_{l=-\infty}^{\infty} C_k C_l^* \langle e^{j 2 \pi \frac{(k-l)}{T} t} \rangle$$

$$P_y = \sum_{k=-\infty}^{\infty} |C_k|^2$$

¿Cómo extendería este análisis en el caso de una señal periódica de VID?



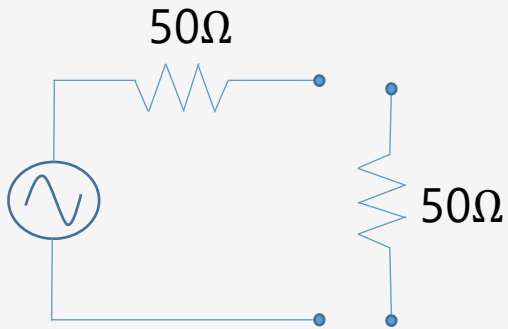
¿Cuál es la característica notoria del contenido en frecuencia de una señal periódica?

Generar muestras de una señal sinusoidal de frecuencia f_0 arbitraria y amplitud unitaria. ¿Por qué es probable que el valor medio calculado de la señal no resulta ser exactamente cero? ¿Cuánto vale su potencia media normalizada?

MATLAB

Ejemplo

Suponga la salida de un generador de señales de RF (en el ATEI pueden experimentar ...)



$$x(t) = A \sin(2\pi f_p t + \theta) \quad [\text{V}]$$

$$T = 1/f_p$$

$$P_x = \sum_{k=-\infty}^{\infty} |C_k|^2$$

$$|C_1| = |C_{-1}| = A/2$$

$$P_x = A^2/2 \quad [\text{V}^2]$$

$$P_x = A^2/(2R) \quad [\text{V}^2/\Omega] : [\text{W}]$$



Si $R=50\Omega$

$$A[\text{V}] = \sqrt[2]{100[\Omega] P_x[\text{W}]}$$

¿Por qué el valor de P_x no es función de la fase inicial θ ?

Correlación (modelo determinístico)

Función de Inter-correlación:

$$r_{xy}(\tau) = \int_{-\infty}^{\infty} x(t + \tau) y^*(t) dt$$

← p/ señales de energía

$$r_{xy}(\tau) = \lim_{T \rightarrow \infty} \frac{1}{2T} \int_{-T}^T x(t + \tau) y^*(t) dt$$

← p/ señales de potencia

$$r_{xy}(\tau) = \langle x(t + \tau) y^*(t) \rangle$$

Función de Auto-correlación:

$$r_{xx}(\tau) = \int_{-\infty}^{\infty} x(t + \tau) x^*(t) dt$$

$$r_{xx}(0) = \varepsilon_x$$

$$r_{xx}(\tau) = \lim_{T \rightarrow \infty} \frac{1}{2T} \int_{-T}^T x(t + \tau) x^*(t) dt$$

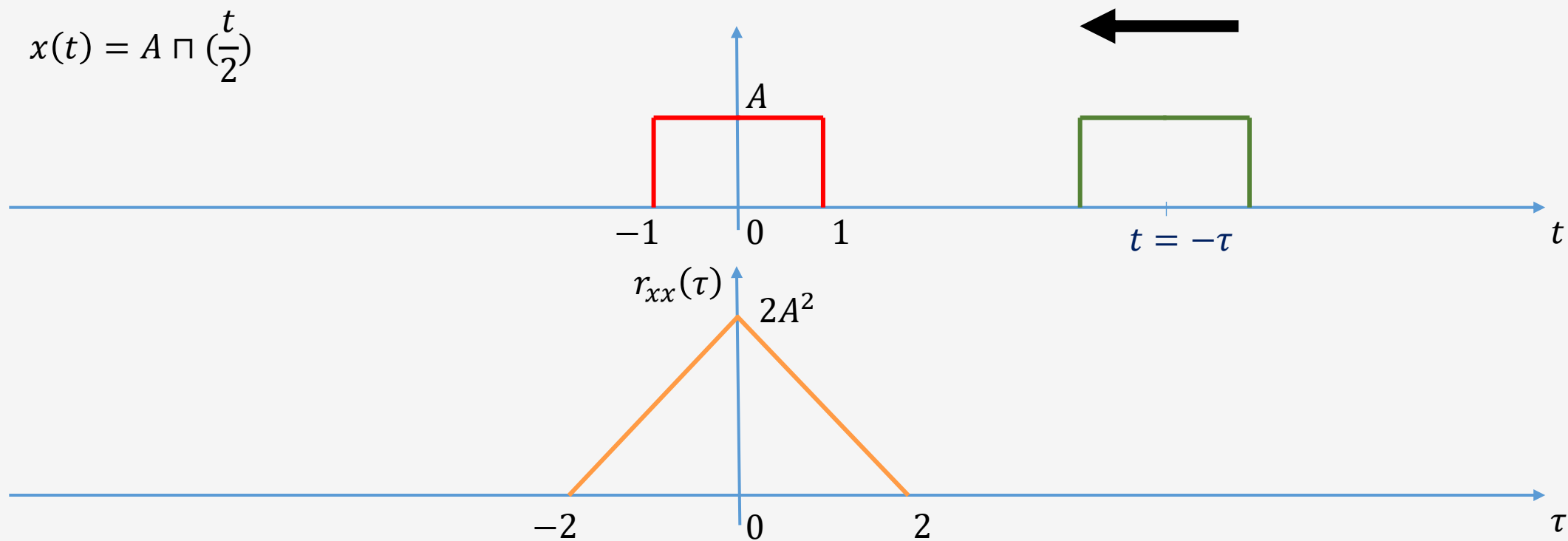
$$r_{xx}(0) = P_x$$

$$r_{xx}(\tau) = \langle x(t + \tau) x^*(t) \rangle$$

Correlación (cont.)

$$r_{xx}(\tau) = \int_{-\infty}^{\infty} x(t+\tau) x^*(t) dt \stackrel{\lambda = t + \tau}{=} \int_{-\infty}^{\infty} x(\lambda) x^*(-(\tau - \lambda)) d\lambda = \{x * x^*\}(\tau)$$

$$x(t) = A \Pi\left(\frac{t}{2}\right)$$



Correlación (cont.)

- Propiedades de la función de auto-correlación

$$r_{xx}(\tau) = \int_{-\infty}^{\infty} x(t + \tau) x^*(t) dt$$



- $r_{xx}(0) = \varepsilon_x$
- $|r_{xx}(\tau)| \leq r_{xx}(0)$
- $r_{xx}(\tau) = r_{xx}^*(-\tau)$
- $\lim_{|\tau| \rightarrow \infty} r_{xx}(\tau) = \langle x(t) \rangle^2$
- $\mathcal{F}\{r_{xx}(\tau)\} \geq 0$
- Si $x(t)$ es periódica de período T_0 en t , entonces $r_{xx}(\tau)$ es periódica de período T_0 en τ .

dee y dep

densidad espectral de energía:
(dee)

$$r_{xx}(\tau) = \int_{-\infty}^{\infty} x(t + \tau) x^*(t) dt$$

T. de Parseval

$$r_{xx}(0) = \varepsilon_x$$

$$\varepsilon_x = \int_{-\infty}^{\infty} |x(t)|^2 dt \quad \downarrow = \int_{-\infty}^{\infty} |X(f)|^2 df$$

$$s_{xx}(f) \triangleq |X(f)|^2$$

densidad espectral de potencia:
(dep)

$$r_{xx}(\tau) = \lim_{T \rightarrow \infty} \frac{1}{2T} \int_{-T}^T x(t + \tau) x^*(t) dt$$

$$r_{xx}(0) = P_x$$

$$P_x = \lim_{T \rightarrow \infty} \frac{1}{2T} \int_{-T}^T |x(t)|^2 dt = \lim_{T \rightarrow \infty} \frac{1}{2T} \int_{-\infty}^{\infty} |x_T(t)|^2 dt \quad \downarrow = \int_{-\infty}^{\infty} \lim_{T \rightarrow \infty} \frac{|X^T(f)|^2}{2T} df$$

$$X^T(f) = \mathcal{F}\{x_T(t)\}$$

$$s_{xx}(f) \triangleq \lim_{T \rightarrow \infty} \frac{|X^T(f)|^2}{2T}$$

¿TF (TFTD) / dee y dep? Ejemplo

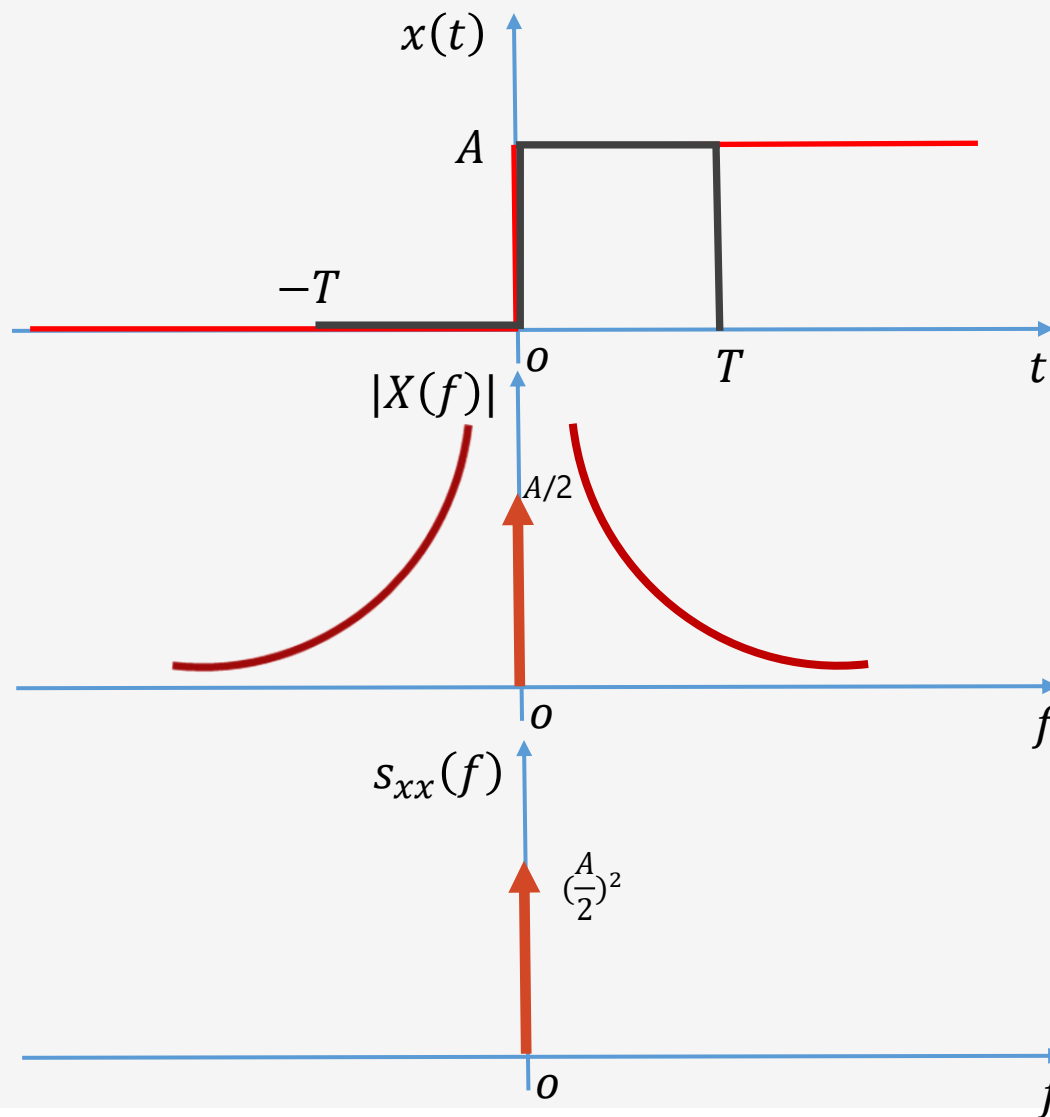
$$x(t) = A u(t)$$

$$X(f) = \frac{A}{j 2\pi f} + \frac{A}{2} \delta(f)$$

$$x_T(t) = A \Pi\left(\frac{t - \frac{T}{2}}{T}\right)$$

$$|X^T(f)|^2 = (AT)^2 \text{sinc}^2(Tf)$$

$$s_{xx}(f) = \frac{A^2}{4} \delta(f)$$

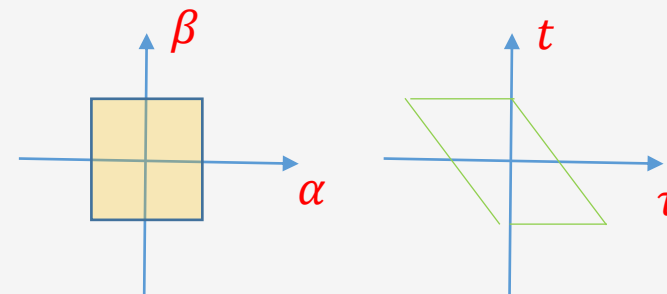


$$s_{xx}(f) \triangleq \lim_{T \rightarrow \infty} \frac{|X^T(f)|^2}{2T} \quad \text{donde} \quad X^T(f) = \mathcal{F}\{x_T(t)\}$$

Relación de Wiener - Khinchin

$$\begin{aligned}
 s_{xx}(f) &\triangleq \lim_{T \rightarrow \infty} \frac{|X^T(f)|^2}{2T} = \lim_{T \rightarrow \infty} \frac{1}{2T} \int_{-T}^T x(\alpha) e^{-j2\pi f \alpha} d\alpha \int_{-T}^T x^*(\beta) e^{j2\pi f \beta} d\beta = \\
 &= \lim_{T \rightarrow \infty} \frac{1}{2T} \iint_{-T}^T x(\alpha) x^*(\beta) e^{-j2\pi f(\alpha - \beta)} d\alpha d\beta
 \end{aligned}$$

$$\begin{aligned}
 \tau &= \alpha - \beta & d\tau &= d\alpha \\
 t &= \beta & dt &= d\beta
 \end{aligned}$$

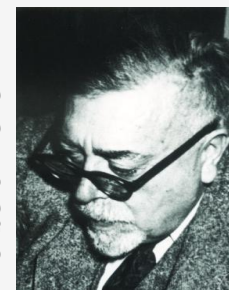


$$s_{xx}(f) = \lim_{T \rightarrow \infty} \left[\int_{-2T}^0 \frac{1}{2T} \int_{-T-\tau}^T x(t + \tau) x^*(t) dt e^{-j2\pi f \tau} d\tau + \int_0^{2T} \frac{1}{2T} \int_{-T}^{T-\tau} x(t + \tau) x^*(t) dt e^{-j2\pi f \tau} d\tau \right]$$

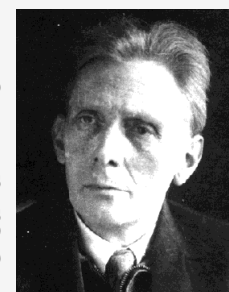
$$s_{xx}(f) = \int_{-\infty}^0 \langle x(t + \tau) x^*(t) \rangle e^{-j2\pi f \tau} d\tau + \int_0^{\infty} \langle x(t + \tau) x^*(t) \rangle e^{-j2\pi f \tau} d\tau$$

$$s_{xx}(f) = \mathcal{F}\{r_{xx}(\tau)\}$$

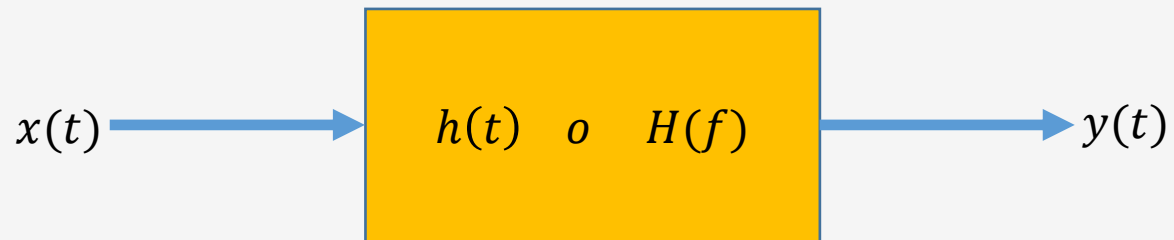
Norbert Wiener



Aleksandr Khinchin



Valor medio, Correlación y SLITs



$$y(t) = \{x * h\}(t)$$

$$\langle y(t) \rangle = \langle x(t) \rangle H(0)$$

$$r_{yy}(\tau) = \{r_{xx} * h * h^*\}(\tau) = \{r_{xx} * r_{hh}\}(\tau)$$

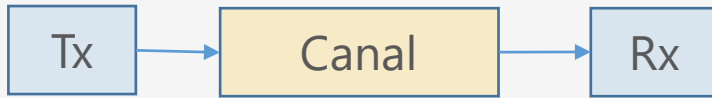
$$s_{yy}(f) = s_{xx}(f) H(f) H^*(f)$$

$$s_{yy}(f) = s_{xx}(f) |H(f)|^2$$

dB, dBm, dBW ...

$$x \text{ [dB]} = 10 \log x$$

dB: adimensional (si x es adimensional) ... solo indica que se usa $10 \log (.)$



Ventajas:

- "Compresión" de la escala de valores
- Multiplicaciones y divisiones $\xrightarrow{\log}$ Sumas y restas

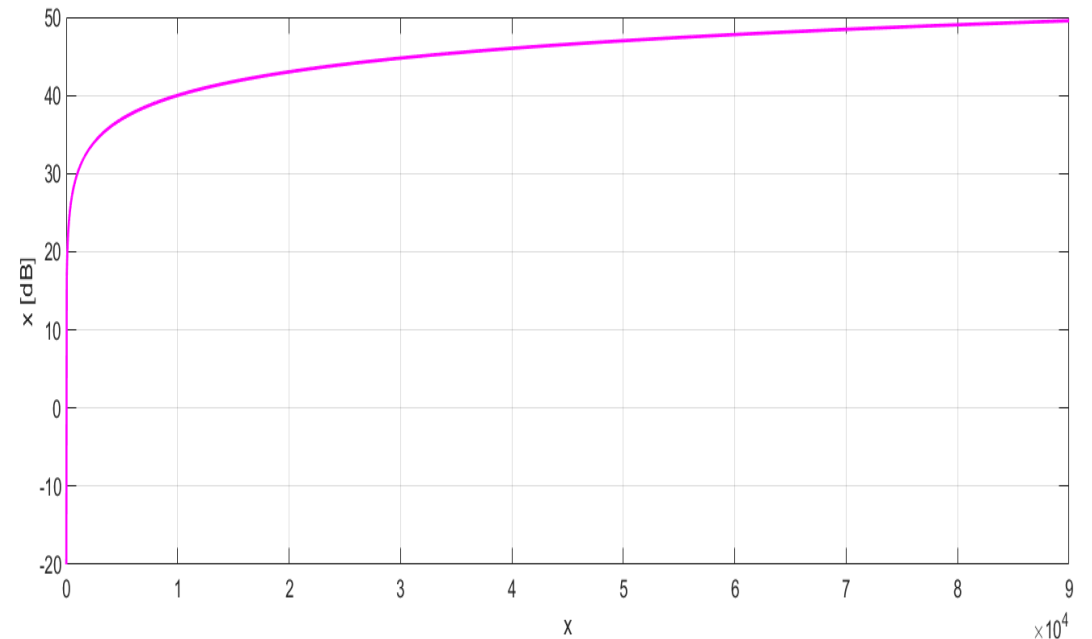
Si P es potencia en W $P \text{ [dBW]} = 10 \log P \text{ [W]}$

$$P \text{ [mW]} \quad P \text{ [dBm]} = 10 \log P \text{ [mW]}$$

$$P \text{ [mW]} = P \text{ [W]} * 1000$$

$$P \text{ [dBm]} = P \text{ [dBW]} + 30 \text{ [dB]}$$

Un Rx que tiene una sensibilidad de -130dBm, implica que funciona correctamente cumpliendo todos los requerimientos para una potencia recibida de $P_R = 10^{-13} \text{ mW} = 100 \text{ fW}$



dB, dBm, dBW ...



$$P_{Rx}[mW] = P_{Tx}[mW] \frac{G_1 G_3 G_4}{A_2 A_5}$$

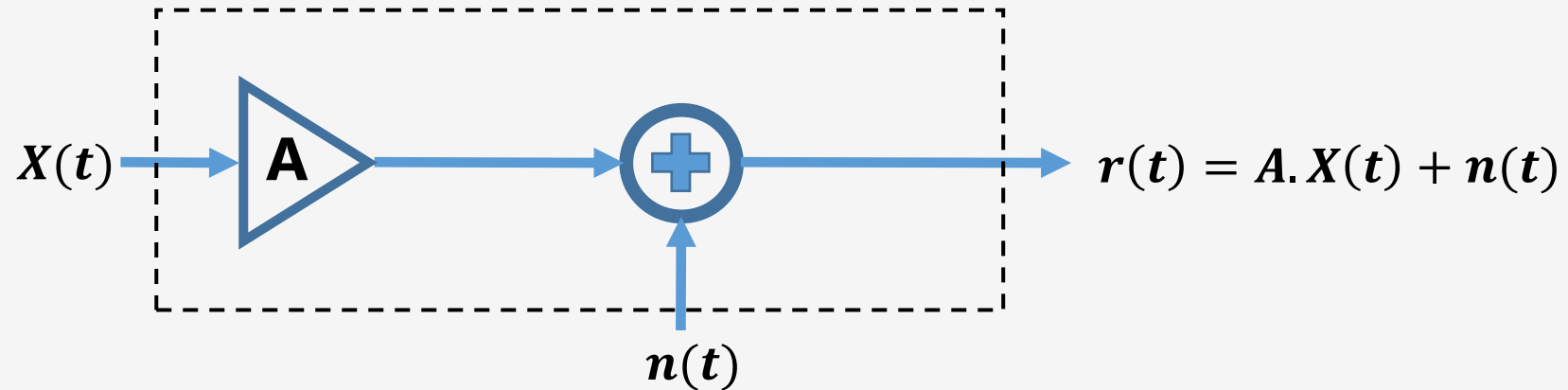
$$P_{Rx}[\text{dBm}] = P_{Tx}[\text{dBm}] + G_1[\text{dB}] + G_3[\text{dB}] + G_4[\text{dB}] - A_2[\text{dB}] - A_5[\text{dB}]$$

Modelo lineal para el CANAL

Tx

CANAL

Rx



Modelo: RUIDO BLANCO GAUSSIANO

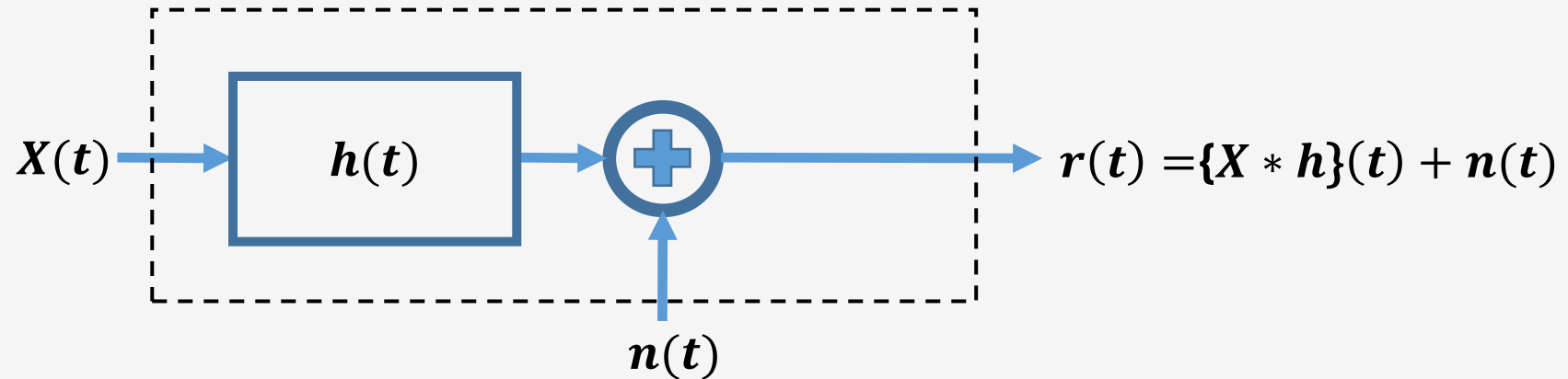
CANAL AWGN (sin limitación de ancho de banda)

Modelo lineal para el CANAL

Tx

CANAL

Rx



Modelo: RUIDO BLANCO GAUSSIANO

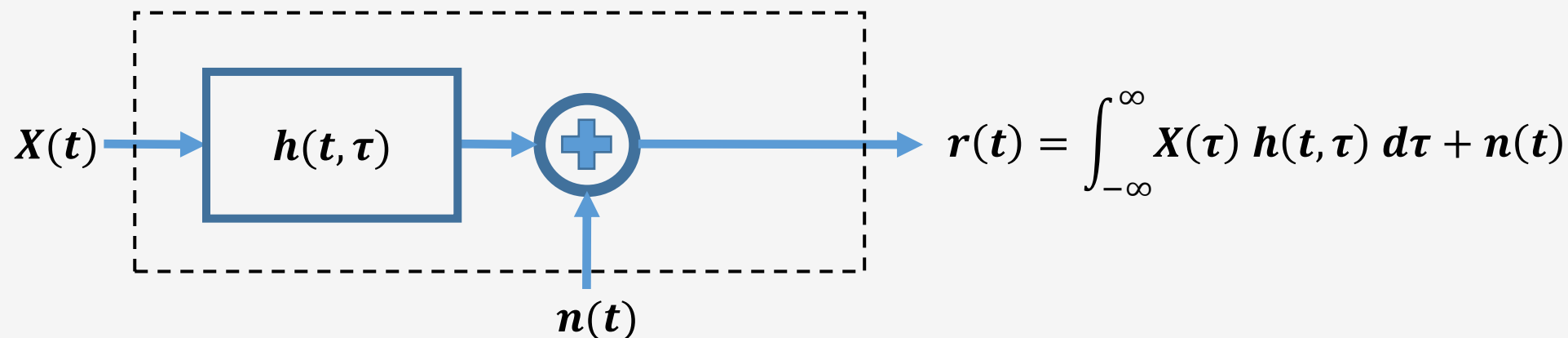
CANAL AWGN (con limitación de ancho de banda)

Modelo lineal para el CANAL

Tx

CANAL

Rx



Caso Particular:

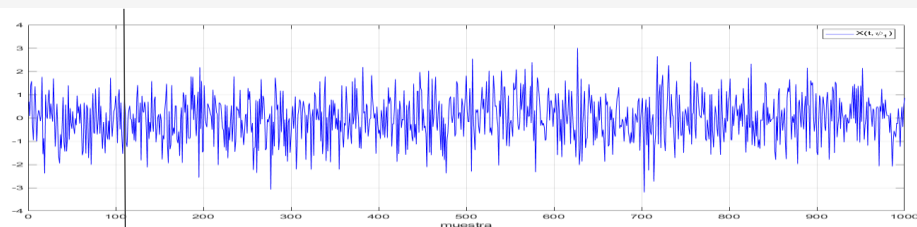
Modelo: RUIDO BLANCO GAUSSIANO

$$h(t, \tau) = \sum_{k=1}^L a_k(t) \delta(t - \tau - \tau_k(t))$$

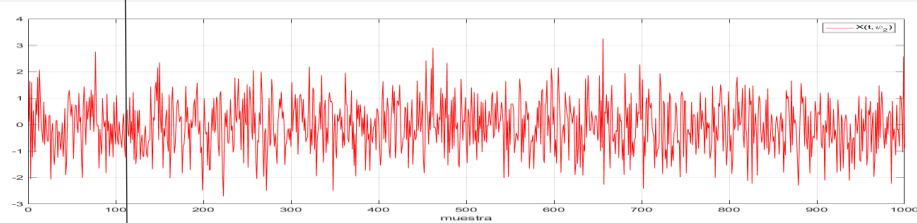
$$r(t) = \sum_{k=1}^L a_k(t) X(t - \tau - \tau_k(t)) + n(t)$$

CANAL AWGN (variante en el tiempo)

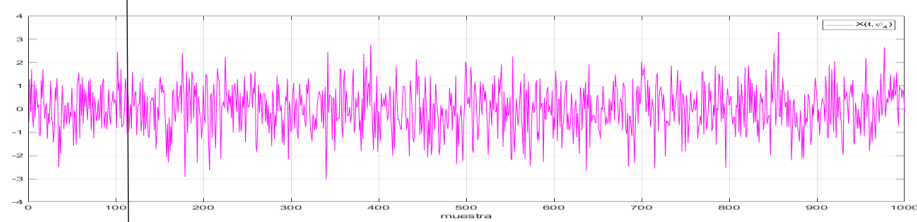
Modelo de señal ALEATORIO



Realización 1: $X(t, \psi_1)$

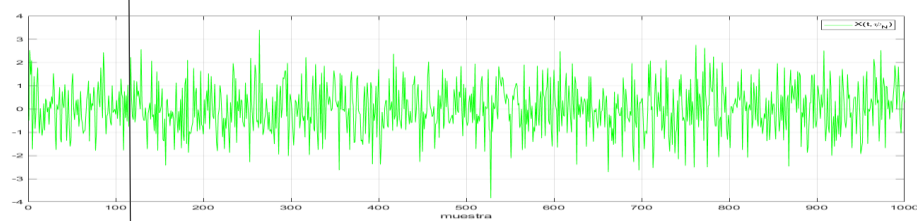


Realización 2: $X(t, \psi_2)$



Realización 3: $X(t, \psi_3)$

⋮



Realización N: $X(t, \psi_N)$

$X(t_1, \psi) = X_1$ **VA** $f_{X_1}(x_1, t_1) \rightarrow \text{fdp}$

$f_{X_1}(x_1, t_1)$ fdp

$$F_{X_1}(x_1, t_1) = P\{X_1 \leq x_1\} = \int_{-\infty}^{x_1} f_{X_1}(\alpha, t_1) d\alpha$$

Proceso estocástico

$$X(t, \psi) = X(t)$$

$$f_{X_i}(x_i, t_i), \quad \forall t_i \in \mathbb{R}$$

$$f_{X_i, X_j}(x_i, x_j; t_i, t_j), \quad \forall t_i, t_j$$

$$f_{X_i, X_j, X_k}(x_i, x_j, x_k; t_i, t_j, t_k), \quad \forall t_i, t_j, t_k$$

⋮

¿preguntas?



Foro en Moodle de E214 E1214



Consultas en tiempo real en reuniones virtuales



Fuentes:

- Auditory Transduction by Brandon Pletsch.
- Dancing outer hair cell. J Santos – Sacchi.
- Modelo Lineal para la precepción de la Altura Tonal. TF. FI-UNLP.
- Principles of Communications, 5/E by Rodger Ziemer and William Tranter, John Wiley & Sons. Inc.
- www.itu.int
- www.enacom.gob.ar

Fuentes:

- Principles of Communications, 5/E by Rodger Ziemer and William Tranter, John Wiley & Sons. Inc.
- Signals and Systems (Prentice-Hall signal processing series) by Alan V. Oppenheim.
- Manual generador RF Agilent.
- Fotografías desde Wikipedia.

